

Experimental Study of Compressive Strength and Shear Strength Parameters of Treated Sand with Nanomaterial, Basalt Fiber and Polymer

Sadegh Shahidi¹, Meysam Bayat^{2*}, Sayed Alireza Zarei³

1. Ph.D. Student, Department of Civil Engineering, Isfahan (Khorasan) Branch, Islamic Azad University, Isfahan, Iran.
2. Associate Professor, Department of Civil Engineering, Najafabad Branch, Islamic Azad University, Najafabad, Iran.
3. Associate Professor, Department of Civil Engineering, Isfahan (Khorasan) Branch, Islamic Azad University, Isfahan, Iran.

Abstract

Soil stabilization techniques have traditionally relied on cement or lime, yet there remains a significant knowledge gap regarding the mechanical behavior of soil treated with innovative materials. Addressing this gap, this study delves into the mechanical properties of soil stabilized with polyurethane (PU) foam, nano-silica, and basalt fiber. Through rigorous experimentation, unconfined compressive strength (UCS) and direct shear tests were conducted on reconstituted silica and calcareous samples, each treated with various combinations of these additives. A comprehensive examination of parameters such as additive content and curing time was undertaken to elucidate their effects. The results unveiled a noteworthy enhancement in UCS and shear strength parameters (cohesion and friction angle) with the incorporation of PU foam, nano-silica, or their amalgamation with fiber. Particularly striking was the superior performance observed with the combination of PU and basalt fiber, showcasing remarkable improvements in the mechanical behavior of both silica and calcareous sand, especially when considering shorter curing times. The synergistic effects of PU and basalt fiber proved instrumental in fortifying the soil's structural integrity against environmental challenges. Furthermore, it was consistently observed that calcareous samples exhibited elevated UCS, and shear strength values compared to their silica counterparts. This discrepancy underscores the inherent differences in mechanical behavior between these two types of sand, highlighting the need for tailored stabilization approaches. Moreover, the investigation delved into the failure patterns and microstructural changes within the stabilized samples, employing Scanning Electron Microscopy (SEM) for detailed analysis. This microscopic examination offered valuable insights into the efficacy of the stabilizing agents and their impact on the soil's mechanical properties. For instance, SEM imaging revealed significant bonding in fiber-reinforced samples, indicating enhanced load transfer mechanisms. Similarly, the presence of clusters of nano-silica particles adhering to sand particles showcased an improved cohesion within the stabilized soil. PU-stabilized samples, on the other hand, exhibited a cohesive layer enveloping sand particle, thereby enhancing interparticle connectivity and overall stability. The superior performance of PU over nano-silica was underscored by its ability to create a more cohesive matrix and foster stronger interparticle bonds, as evidenced by the SEM analysis. In conclusion, this study sheds light on the potential of innovative stabilization materials such as PU foam, nano-silica, and basalt fiber in bolstering the mechanical properties of soil. The findings not only offer valuable insights into the efficacy of these additives but also pave the way for the development of tailored soil stabilization techniques geared towards enhancing infrastructure resilience and sustainability.

Review History

Received: Mar 13, 2024

Revised: Sep 01, 2024

Accepted: Jun 01, 2024

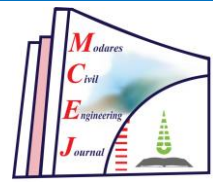
Keywords

Silica and calcareous sand
Soil improvement
Fiber
Nanomaterials
Polymer

* Corresponding Author Email: bayat.m@pci.iaun.ac.ir - ORCID: 0000-0001-5525-5199



Copyright © 2025, TMU Press. This open-access article is published under the terms of the Creative Commons Attribution-NonCommercial 4.0 International License (<https://creativecommons.org/licenses/by-nc/4.0/>) which permits Share (copy and redistribute the material in any medium or format) and Adapt (remix, transform, and build upon the material) under the Attribution-NonCommercial terms.



مطالعه آزمایشگاهی مقاومت فشاری و پارامترهای مقاومت برشی ماسه بهسازی شده با نانومواد، الیاف بازالت و پلیمر

صادق شهیدی^۱، میثم بیات^{۲*}، سید علیرضا زارعی^۳

۱. دانشجوی دکتری، گروه مهندسی عمران، واحد خوارسگان (اصفهان)، دانشگاه آزاد اسلامی، اصفهان، ایران.
۲. دانشیار، گروه مهندسی عمران، واحد نجف آباد، دانشگاه آزاد اسلامی، نجف آباد، ایران.
۳. دانشیار، گروه مهندسی عمران، واحد خوارسگان (اصفهان)، دانشگاه آزاد اسلامی، اصفهان، ایران.

تاریخچه داوری

چکیده

در حالی که روش‌های سنتی بهسازی خاک با استفاده از سیمان یا آهک به طور گسترده مورد تحقیق قرار گرفته‌اند، اما هنوز درک کاملی از رفتار مکانیکی خاک‌های بهسازی شده با افزودنی‌های جدید مثل پلیمرها وجود دارد. این مطالعه به بررسی خواص مکانیکی خاک‌های استحکام‌بخشی شده با فوم پلی‌پورتان (PU)، نانوسیلیس و الیاف بازالت می‌پردازد. مقاومت فشاری محصور نشده (UCS) و آزمون برش مستقیم روی نمونه‌های بازسازی شده ماسه سیلیسی و کربناته با استفاده از ترکیبات مختلف از این مواد انجام شد. پارامترهای مختلفی از جمله مقدار مواد افزودنی و زمان عمل آوری مورد بررسی قرار گرفتند. یافته‌ها نشان می‌دهند که با افزودن فوم PU، نانوسیلیکا یا ترکیب آنها با الیاف، مقاومت فشاری بدون و پارامترهای مقاومت برشی به طور قابل توجهی افزایش می‌یابد. به ویژه، ترکیب PU و الیاف بازالت عملکردی بسیار امیدبخش در بهبود رفتار مکانیکی ارائه می‌دهد، به ویژه برای زمانهای عمل آوری کوتاه که می‌تواند در پروژه‌هایی که زمان اهمیت بالایی دارد، مفید واقع شود. همچنین، شکل گسیختگی نمونه‌ها و ساختار پلیمر میکروسکوپی نمونه‌ها نیز مورد بررسی قرار گرفته است.

از مواد نوآورانه مانند نانومواد و پلیمرها انتقال یافته است [12].

این مواد نوآورانه فرصت‌های بی‌نظیری را برای تقویت ساختهای خاکی ارائه می‌دهند و مشکلات مرتبط با خاک‌های ضعیف یا خاک‌های نرمی که در زمان بارگذاری دچار تغییر شکل می‌شوند، را به‌طور مؤثر کاهش می‌دهد. از طریق استفاده دقیق و مهندسی، این مواد ویژگی‌های ریزساختار خاک را با نفوذ مناسب در فضاهای خالی بین ذرات تغییر می‌دهند و در نهایت موجب افزایش مقاومت توده خاک می‌شوند [4]. با تشدید شهرنشینی و افزایش تقاضا برای زیرساخت‌ها، اهمیت روش‌های نوین بهسازی

۱- اجزای مقاله

بهبود خاک به عنوان یک پایه اساسی در مهندسی عمران مطرح است، به ویژه زمانی که در پروژه با خاک ضعیف سر و کار داریم [1-5]. استفاده از افزودنی‌های سنتی، موادی مانند سیمان و آهک از گذشته تا به امروز در بهبود پایداری خاک و بهبود ظرفیت باربری مورد استفاده مهندسین و پژوهشگران ژئوتکنیکی بوده است [6-11]. با این حال، با ظهور فناوری‌های پیشرفته که مضر برای محیط زیست هستند و فرآیندهای پر انرژی، تمرکز به سوی استفاده

* ریانه نویسنده مسئول: ORCID – bayat.m@pci.iaun.ac.ir

Creative Commons Attribution-NonCommercial 4.0 International License. این مقاله به صورت دستگاه تربیت مدرس (TMU Press) انتشارات دانشگاه تربیت مدرس (TMU Press). این مقاله تحت مجوز بین‌المللی Creative Commons Attribution-NonCommercial 4.0 International License منتشر شده و تحت مجوز بین‌المللی Creative Commons Attribution-NonCommercial 4.0 International License منتشر شده. بر اساس این مجوز، شما می‌توانید این مطلب را در هر قالب و رسانه‌ای کی، بازنگر و بازآفرینی کنید و با آن را ویرایش و بازسازی نمایید، به شرط آنکه نام نویسنده را ذکر کرده و از آن برای مقاصد غیرتجاری استفاده کنید.



معمول در مهندسی عمران انجام شده است [30–34]. تقویت و بهسازی خاک با فوم پلی‌یورتان چندین مزیت دارد، از جمله طبیعت سبک آن، ویسکوزیته پایین، خواص چسبندگی بالا، عایق بودن در برابر حرارت، پایداری شیمیایی، قابلیت اتساع بعد از تزریق، نرخ اتساع بالا و زمان واکنش کوتاه و سریع. تحقیقات قبلی نشان می‌دهد که تقویت انواع مختلف خاک‌های چسبنده و دانه‌ای با فوم پلی‌یورتان بدون در نظر گرفتن ویژگی‌های فیزیکی و مکانیکی یا سطوح آب زیرزمینی آنها، حتی در شرایط ژئوتکنیکی پیچیده، امکان‌پذیر است [13, 14, 35–37].

هر چند مطالعات زیادی روی تثبیت خاک با استفاده از مواد متنوع انجام شده است، اما هنوز بررسی کاملی روی مقاومت فشاری و پارامترهای مقاومت برشی خاک‌های دانه‌ای بهسازی شده با ترکیب الیاف بازالت، نانوسیلیکا و فوم پلی‌یورتان انجام نشده است.

۲- مواد و روش‌ها

در این مطالعه، مجموعه‌ای از آزمایش‌های مقاومت فشاری و برش مستقیم روی نمونه‌های بهسازی شده انجام شد، پنج نوع مخلوط افزودنی، شامل الیاف بازالت، آب، نانوسیلیکا و فوم پلی‌یورتان برای بهسازی نمونه‌های ماسه سیلیسی و کربناته در نظر گرفته شد. پنج گروه نمونه تقویت شده با افزودنی‌های مختلف آماده شده است که شامل نمونه‌های بهسازی شده با الیاف، نمونه‌های تثبیت شده با نانوسیلیکا، نمونه‌های بهسازی شده با ترکیبی از الیاف و نانوسیلیکا، نمونه‌های تثبیت شده با PU و نمونه‌های بهسازی شده با PU و الیاف. این افزودنی‌ها به ماسه سیلیسی و کربناته افزوده شدند و سپس به درون قالب‌ها ریخته شدند تا پس از آن با عمل کوبش، نمونه‌ها آماده شوند. پس از دوره عمل آوری مورد نظر، آزمایش‌های UCS و برش مستقیم روی نمونه‌های انجام شده است. آثار مقدار افزودنی، زمان عمل آوری، نوع ماسه (سیلیسی و کربناته) روی مقدار مقاومت فشاری بررسی شده است. علاوه بر این، آزمایش‌های برش مستقیم برای تحلیل پاسخ برش نمونه‌ها انجام شده است.

در این تحقیق، همانطور که پیشتر اشاره شده است، ماسه سیلیسی و کربناته استفاده شده است. ماسه سیلیسی از منطقه ورزنه اصفهان جمع آوری شده است و ماسه کربناته از جزیره کیش در

خاک به طور چشمگیری بیشتر می‌شود [14, 13]. در مهندسی عمران معاصر، استفاده از الیاف برای تقویت خاک یا تثبیت آن با آهک و سیمان به عنوان یک راهبرد تحول‌آفرین ظاهر شده است. با اضافه کردن الیاف که به طور معمول از موادی مانند پلی‌پروپیلن، بازالت، پلی‌استر یا فولاد تشکیل شده‌اند، در توده خاک، مهندسان ویژگی‌های مکانیکی و عملکرد آن را تقویت می‌کنند [2, 15–17]. این روش نه تنها مقاومت و ظرفیت تحمل بار خاک را افزایش می‌دهد، بلکه از شکست و تغییرشکل‌های ترد جلوگیری می‌کند [18]. افزودن الیاف به خاک، مقاومت کششی آن را افزایش می‌دهد، خطر ایجاد شکست‌های ترد و رفتارهای شکننده را کاهش می‌دهد. علاوه بر این، الیاف باعث می‌شود تا تنش‌ها درون جرم خاک به طور موثرتری پخش شود و احتمال شکست تحت بار را کاهش می‌دهد. مطالعه‌های قبلی نشان می‌دهند که تلفیق آهک، سیمان و الیاف، مواد مرکبی با ویژگی‌های مهندسی برتر ایجاد می‌کند [19–22]. علاوه بر این، استفاده از الیاف‌ها با کاهش نیاز به مواد تثبیت کننده سنتی مثل آهک و سیمان، مزایای زیست‌محیطی به همراه دارد که امروزه مورد توجه پژوهشگران است.

در مهندسی نوین، نانومواد با ویژگی‌های استثنایی خود، مواد ساختمانی را از طریق قدرت نفوذ بالا، توزیع، مقاومت و دوام، متحول کرده‌اند. اما تأثیر نانومواد از حوزه‌های ساخت و ساز معمولی فراتر می‌رود؛ آنها پیشروعی خوبی در زمینه‌های مختلف مهندسی برای بهبود دوام، رفع آلودگی و راه حل‌های زیرساخت پایدار داشته‌اند [23–27]. جافاریان و همکاران [28] توانایی تحول آفرینی تزریق نانومواد به خاک‌های دانه‌ای را به روشی نشان می‌دهند، با گزارش افزایش مقاومت فشاری و بهبود ویژگی‌های خاک‌های دانه‌ای. به طور مشابه، لوثو و همکاران [29] ویژگی‌های مکانیکی ماسه کربناته بهسازی شده با سیمان را از طریق نانوسیلیکا افزایش داد. این پیشرفت‌ها نقش اساسی نانومواد در انقلاب مهندسی عمران را تأکید می‌کنند.

پلیمرها به تازگی به عنوان یک ماده نوآورانه دیگری در مهندسی عمران ظاهر شده‌اند. فوم پلی‌یورتان یک پلیمر آلی با ساختارهای سلولی بسته یا باز از زمانهای گذشته تاکنون کاربردهای گوناگونی پیدا کرده است. تحقیقات بسیاری برای ترکیب فوم پلی‌یورتان با مواد آلی یا سیمان برای ساخت‌وسازهای

است. قالب‌های استوانه‌ای به ارتفاع ۱۰۰ میلی‌متر و قطر ۵۰ میلی‌متر برای آماده‌سازی نمونه‌ها به کار گرفته شدند. نمونه‌ها با نرخ کرنش ثابتی برابر با یک درصد در دقیقه بارگذاری شدند تا به مقدار تنفس ماقزیم بررسنند. مواد افزودنی مانند آب، الیاف، نانوسیلیکا و پلی‌یورتان با استفاده از دستگاه مخلوطکن با ماسه سیلیسی یا کربناته خشک مخلوط شده است. مقدار آب در صورت

جدول ۱. ویژگی‌های فیزیکی ماسه سیلیسی و کربناته

Table 1. Summary of physical characteristics of silica and calcareous sands

Soil type (USCS)	G_s	ω_{opt}	e_{max}	e_{min}
Silica Sand	SP	2.66	8	0.83
Calcareous Sand	SP	2.67	6.5	1.42
			0.90	

جدول ۲. ویژگی‌های فیزیکی و مکانیکی الیاف بازالت

Table 2. Physical and mechanical characteristics of basalt fiber

Characteristics	Results
Color	Golden brown
Cut Length (mm)	12
Diameter of fiber (μm)	16
Density (g/cm^3)	2.62
Fracture strength (MPa)	2150
Elastic modulus (GPa)	98
Tensile strength (MPa)	3000
Water absorption (%)	0.1

جدول ۳. خصوصیات فیزیکی نانوسیلیکا

Table 3. Physical properties of nano-silica

Characteristics	Results
Color	White
Form	Amorphous
Nano type	Silicon oxide (SiO_2)
Purity (%)	99
Particle Size (nm)	20-30
Specific Surface Area (m^2/g)	190-220
Free water content	Less than 3%

جدول ۴. ویژگی‌های فیزیکی پلی‌ارتان

Table 4. Technical properties of PU foam

Characteristics	Results
Application temperature	$\geq 5^\circ \text{C}$; curing below 50°C not possible
Foam expansion	Approx. 100%-200% At 20°C and high humidity: $\sim 1\text{cm}/\text{h}$; at low humidity and 20°C : $\sim 0.5\text{cm}/\text{h}$; at high humidity and 50°C : $\sim 0.5\text{cm}/\text{h}$; loses adherence after 10-20 minutes
Curing time	
Cell structure after curing	Closed cell
Temperature resistance	-40°C to 100°C
Heat conductivity	Approx. 0.04 W/mK
Density (DIN 53420)	23 g/ml

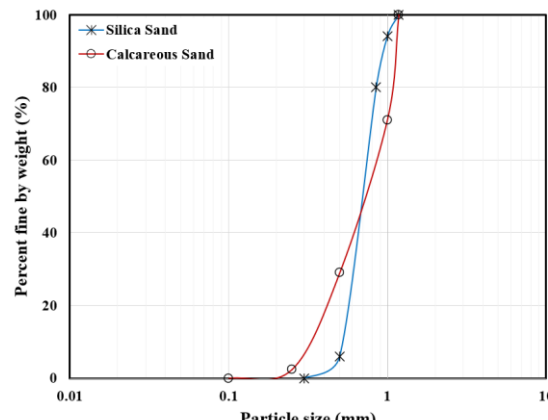
خلیج فارس استفاده شده است. منحنی‌های توزیع اندازه ذرات این دو نوع ماسه در شکل (۱) نشان داده شده است. ویژگی‌های فیزیکی ماسه‌ها نیز در جدول (۱) ارائه شده است.

الیاف بازالت با درصدهای مختلف از ۰/۵ تا ۴ درصد وزنی برای بهسازی نمونه‌ها استفاده شده است. الیاف بازالت، که از سنگ آتشفشنانی طبیعی به دست می‌آید، به خاطر ویژگی‌های مکانیکی استثنایی و پایداری زیست‌محیطی خود، روز به روز بیشتر شناخته می‌شود. با مزایابی از قبیل استحکام کششی بالا، مقاومت در برابر خوردگی و پایداری گرمایی، الیاف بازالت به طور گسترده در صنایع مختلف از جمله ساختمانی، هواضا و خودروسازی برای تقویت مواد کامپوزیتی و افزایش عملکرد سازه‌ها استفاده می‌شود. جدول (۲) ویژگی‌های فیزیکی و مکانیکی الیاف بازالت مورد استفاده در این تحقیق را شرح می‌دهد.

همان طور که پیشتر اشاره شده است از نانو ذرات نیز در این تحقیق برای تثیت ماسه استفاده شده است. نوع نانوذرات مورد استفاده در این تحقیق، نانوسیلیکا بوده است. جدول (۳) برخی ویژگی‌های نانوسیلیکا که در این مطالعه مورد استفاده قرار گرفته، ارائه می‌دهد.

نوع دیگر افزودنی مورد استفاده در این تحقیق، پلیمر بوده است. در این مطالعه، از فرم پلی‌یورتان یک نوع پلیمر خاص برای بهسازی خاک استفاده شده است. جدول (۴) ویژگی‌های آن را شرح می‌دهد.

در این مطالعه، آزمایش مقاومت فشاری طبق ASTM D2166 برای ارزیابی مقاومت فشاری نمونه‌های بهبود یافته استفاده شده



شکل ۱. منحنی دانه‌بندی ماسه سیلیسی و کربناته

Fig. 1. Particle size distribution curves of silica and calcareous sands

نشان می‌دهند. نمونه‌های حاوی ۱۰٪ نانوسیلیکا بیشترین UCS را در هر دو نمونه ماسه دارند، با افزایش UCS از ۵٪ تا ۱۰٪ محتوای نانوسیلیکا و سپس کاهش بعد از ۱۰٪ به ۲۰٪. نمونه‌های ماسه کربناته در اینجا نیز دارای مقاومت فشاری بالاتری نسبت به نمونه‌های ماسه سیلیسی هستند. به طور خاص، برای محتوای نانوسیلیکا ۰.۵٪، ماسه کربناته دارای مقدار UCS بیشتری نسبت به شن سیلیکا را نشان می‌دهد، اما برای محتوای نانو-سیلیکا بیشتر از ۵٪، شن سیلیکا ارزش‌های UCS بالاتری نسبت به شن کلسیم دار را نشان می‌دهد. کاهش مقاومت فشاری مشاهده شده با محتوای نانوسیلیکا بیشتر از ۱۰٪ می‌تواند به ذرات نانوسیلیکا ارتباط داد که بین ذرات ماسه را پر می‌کنند و باعث کاهش اصطکاک بین ذرات و تسهیل غلظت ذرات می‌شود.

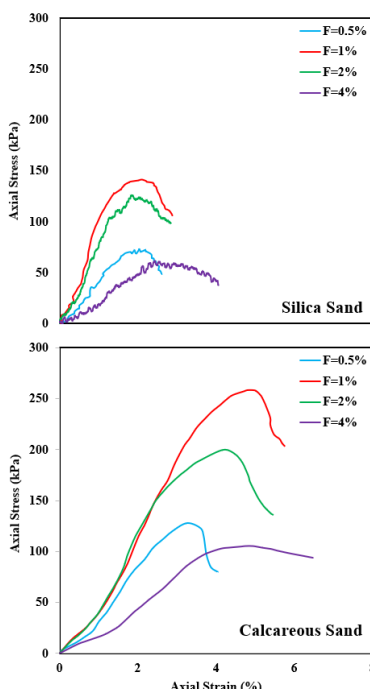
در این بخش، ترکیبی از نانوسیلیکا و الیاف بازالت برای تقویت نمونه‌های ماسه سیلیسی و کربناته استفاده شده است با مقدار محتوای ثابت نانوسیلیکا ۰.۵٪ و مقدار الیاف متغیر از ۰٪ تا ۴٪. منحنی‌های تنش-کرنش این نمونه‌ها در شکل (۴) نمایش داده شده است. مقادیر UCS با افزایش مقدار الیاف از ۰٪ تا ۱٪ افزایش می‌یابد و در مقدار الیاف برابر با ۱٪ به بیشترین مقدار خود می‌رسد، اما پس از آن با افزایش بیشتر مقدار الیاف، مقاومت

وجود در ترکیب برابر با مقدار رطوبت بهینه (OMC) ماسه در نظر گرفته شده است. مخلوط‌ها با استفاده از روش تراکم مرطوب تا پنج لایه در قالب متراکم شده است و سپس درون یک نایلون قرار گرفته‌اند و در نهایت در دمای اتاق برای عمل آوری نگهداری شده‌اند.

برای آزمایش‌های برش مستقیم، نمونه‌ها در یک جعبه خمس ۱۰۰×۱۰۰ میلی‌متری قرار گرفته‌اند. تقریباً روند مشابهی برای ساخت نمونه نمونه‌های برش مستقیم با نمونه‌های تک محوری استفاده شده است. پس از عمل آوری و انتقال نمونه‌ها به دستگاه برش مستقیم، یک تنفس نرم‌الملوک یکنواخت از طریق صفحه بالا اعمال شده است. در نهایت، بارگذاری برشی انجام شد. از سرعت بارگذاری ۱۰۰ میلی‌متر بر دقیقه برای آزمایش‌های برش مستقیم استفاده شده است.

۳- نتایج و بحث‌ها

در این بخش، تأثیر مقدار افزودنی‌ها بر مقاومت فشاری نمونه‌های سیلیسی و کربناته پس از گذشت ۲۸ روز عمل آوری مورد بررسی قرار گرفته است. شکل (۲) منحنی‌های تنش-کرنش نمونه‌های بهسازی شده با الیاف بازالت را نشان می‌دهد. یافته‌ها نشان می‌دهد که نمونه‌های تقویت شده با ۱٪ الیاف بیشترین UCS را دارند. در واقع، با افزایش مقدار الیاف از ۰٪ تا ۱٪ مقاومت فشاری نمونه‌ها افزایش یافته است و با افزایش بیشتر الیاف از ۱٪ تا ۴٪ منجر به کاهش UCS می‌شود. به علاوه، مقایسه بین ماسه سیلیسی و کربناته نشان می‌دهد که نمونه‌های کربناته تقویت شده با الیاف، مقاومت UCS بالاتری نسبت به همتایان سیلیسی دارند. اختلاف در مقدار UCS بین نمونه‌های ماسه سیلیسی و کربناته، به ویژگی‌های منحصر به فرد ذرات ماسه کلسیم دار بازمی‌گردد. سطوح خشن و خلل و فرج بالا در ماسه کربناته، امکان نقاط تماس و قفل شدگی بیشتر با الیاف را فراهم می‌کند، که منجر به مکانیسم‌های انتقال بار و توزیع تنش بهتر و در نهایت باعث افزایش مقاومت فشاری می‌شود. علاوه بر این، ترکیب شیمیایی ماسه کربناته، به ویژه وجود مواد معدنی مانند کربنات کلسیم، می‌تواند اتصالات چسبنده قوی‌تری با مواد فیبر فراهم کند، که در نتیجه ویژگی‌های مکانیکی را بهبود می‌بخشد. شکل (۳) منحنی‌های تنش-کرنش نمونه‌های ثبت شده با نانوسیلیکا را



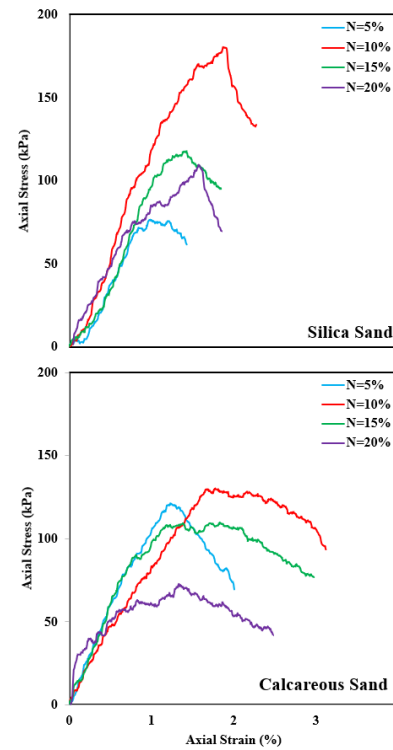
شکل ۲. نتایج آزمایش‌های تک محوری بر روی نمونه‌های تقویت شده با الیاف بازالت

Fig. 2. UCS results of fiber-reinforced samples

کاهش می‌یابد. به طور کلی، نمونه‌های ماسه کربناته مقدار UCS بالاتری نسبت به ماسه سیلیسی نشان می‌دهد، به ویژه برای محتوای الیاف بیشتر از 0.5% . به عنوان نمونه، در مقدار الیاف 1% ، UCS ماسه کربناته برابر 930 کیلوپاسکال است، در حالی که ماسه سیلیسی تنها برابر با 301 کیلوپاسکال است. مقایسه این یافته‌ها با نتایج قبلی در مورد نمونه‌های حاوی الیاف یا نانوسیلیس به تنهایی نشان می‌دهد که ترکیب نانوسیلیکا و الیاف بازالت بسیار تاثیرگذارتر از استفاده مجزای آنها است.

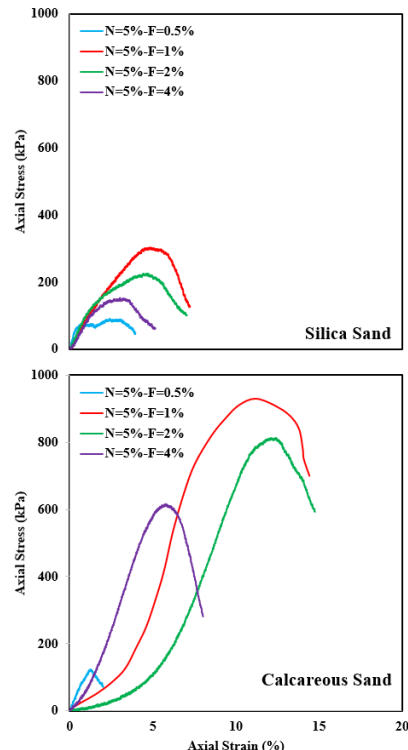
شکل (۵) نتایج آزمون UCS روی نمونه‌های تثبیت شده با پلی‌یورتان با محتوای پلی‌یورتان از 5% تا 20% را ارائه می‌دهند. یافته‌ها نشان می‌دهد که محتوای بهینه پلی‌یورتان برای هر دو نوع ماسه برابر با 10% است. به طور خاص، مقدار UCS با افزایش مقدار پلی‌یورتان از 5% تا 10% افزایش می‌یابد، سپس بعد از آن با افزایش بیشتر مقدار پلی‌یورتان، مقاومت آن کاهش می‌یابد. در مقایسه با نمونه‌های حاوی نانو و الیاف، نمونه‌های حاوی پلی‌یورتان مقدار UCS بالاتری دارند، که نشان‌دهنده مزیت پلی‌یورتان نسبت به نانومواد و الیافها برای بهبود خاک است. این مزیت ممکن است از قابلیت پلی‌یورتان برای ایجاد یک ماتریس کامل پخش شده و مقاوم درون توده خاک نشات گرفته باشد که پایداری و ظرفیت تحمل بار را افزایش می‌دهد. به علاوه، نمونه‌های ماسه کربناته به طور کلی مقدار UCS بالاتری نسبت به ماسه سیلیسی در تمام مقادیر پلی‌یورتان نشان می‌دهند که نشان از عملکرد برتر آنها در خاک‌های کربناته است. بهبودهای در رفتار مکانیکی خاک‌های دانه‌ای همچنین در مطالعات قبلی گزارش شده است [39, 12, 38] که با یافته‌های ارائه شده در این تحقیق هماهنگی دارد.

همچنین، ما مقاومت فشاری نمونه‌های پلی‌یورتان تقویت شده با الیاف را نیز بررسی کردیم. شکل (۶) تأثیر مقدار الیاف بر نتایج UCS نمونه‌های پلی‌یورتان تقویت شده با الیاف را نشان می‌دهند. در این تحقیق، محتوای پلی‌یورتان ثابت برابر با 15% است، در حالی که مقدار الیاف از 0% تا 4% متغیر است. نتایج نشان می‌دهند که مقاومت فشاری با افزایش مقدار الیاف از 0% تا 4% به‌طور تدریجی افزایش می‌یابد. به طور مشخص، برای محتوای الیاف داده شده، نمونه‌های ماسه کربناته مقدار UCS بالاتری نسبت به



شکل ۳. نتایج آزمایش‌های تک محوری روی نمونه‌های تثبیت شده با نانوسیلیکا

Fig. 3. UCS results of nano-silica stabilized samples

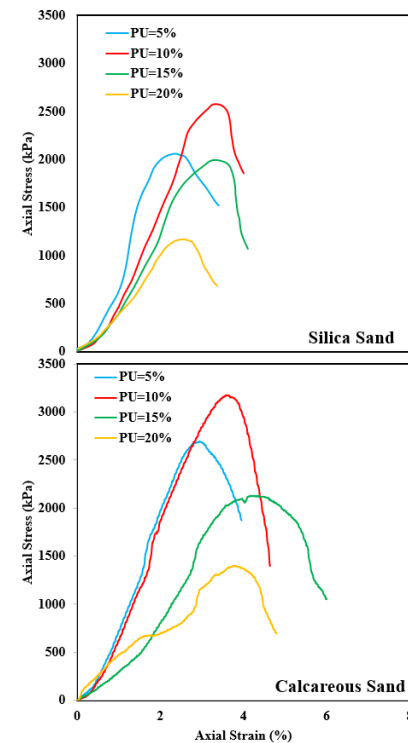


شکل ۴. نتایج آزمایش‌های تک محوری بر روی نمونه‌های تثبیت شده با نانوسیلیکا و تقویت شده با الیاف بازالت

Fig. 4. UCS results of nano-silica stabilized fiber-reinforced samples

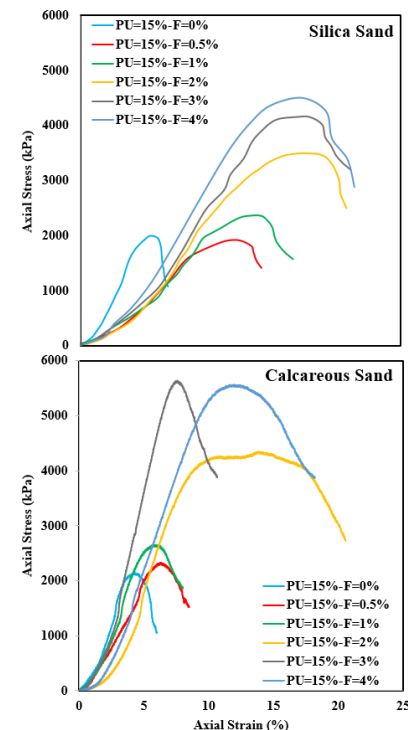
نمونه‌های شن سیلیکا را نشان می‌دهند. یافته‌ها نشان می‌دهد که افزودن الیاف به نمونه‌های پلی‌پورتان تقویت شده باعث بهبود قابل توجه UCS و افزایش کرنش شکست می‌شود. این ترکیب از پلی‌پورتان و الیاف به دلیل اثرات هم‌زمانی آن‌ها بهبودهای قابل توجهی در ویژگی‌های مکانیکی را ایجاد می‌کند. به طور خاص، افزودن الیاف مقاومت کششی و ظرفیت تحمل بار خاک را افزایش می‌دهد، در حالی که پلی‌پورتان همبندی و استحکام را فراهم می‌کند که منجر به ایجاد یک توده خاکی محکم و انعطاف‌پذیر می‌شود. این نتایج نشان می‌دهند که ترکیب پلی‌پورتان و الیاف برای کاربردهای بهسازی خاک، عملکرد و مقاومت بهبود یافته در هر دو نوع ماسه سیلیسی و کربناته ارائه می‌دهد. برخی تحقیقات قبلی نیز از ترکیب الیاف‌ها و پلیمرها برای افزایش رفتار مکانیکی انواع خاک‌ها استفاده کرده‌اند [40، 40] که نتایجی همسو با این نتایج بدست آورده‌اند.

در این بخش، تأثیر زمان عمل‌آوری که از ۳ ساعت تا ۲۸ روز برای نمونه‌های حاوی پلی‌پورتان و از ۱ روز تا ۲۸ روز برای نمونه‌های حاوی نانوسیلیکا است، بررسی شده است. پس از ۳ ساعت، نمونه‌های حاوی پلی‌پورتان به مقاومت کافی و قابل اندازه‌گیری رسیدند، در حالی که نمونه‌های حاوی نانوسیلیکا نیاز به یک دوره عمل‌آوری بیشتری برای به دست آوردن مقاومت کافی برای اندازه‌گیری داشتند. همانطور که از نتایج در شکل‌های (۷ و ۸) مشاهده می‌شود، یک روند ثابت افزایش UCS با زمان در تمام نمونه‌ها مشاهده می‌شود که به دلیل سخت‌شدن پیشرونده پلی‌پورتان یا نانوسیلیکا ناشی از واکنش‌های شیمیابی یا فرآیند هیدراتاسیون نسبت داده می‌شود. به طور کلی، ماسه کربناته مقداری UCS بالاتری نسبت به ماسه سیلیسی برای تمامی زمان‌های عمل‌آوری نشان می‌دهد، که به اختلاف‌های ذاتی و فیزیکی آنها مرتبط است. علاوه بر این، این اختلاف بین ماسه کربناته و سیلیسی با افزایش زمان عمل‌آوری، به ویژه هنگام اضافه کردن الیاف، تشدید می‌شود. در حالی که به طور کلی UCS با گذر زمان افزایش می‌یابد، نرخ افزایش UCS به وابستگی از افزودنی‌های استفاده شده متفاوت است. به طور خاص، نمونه‌های حاوی پلی‌پورتان نرخ بهبود UCS بالاتری نسبت به نمونه‌های حاوی نانوسیلیکا را نشان می‌دهند که عملکرد برتر پلی‌پورتان را نسبت به گذشت زمان نشان می‌دهد. علاوه بر این، اضافه کردن الیاف مقداری



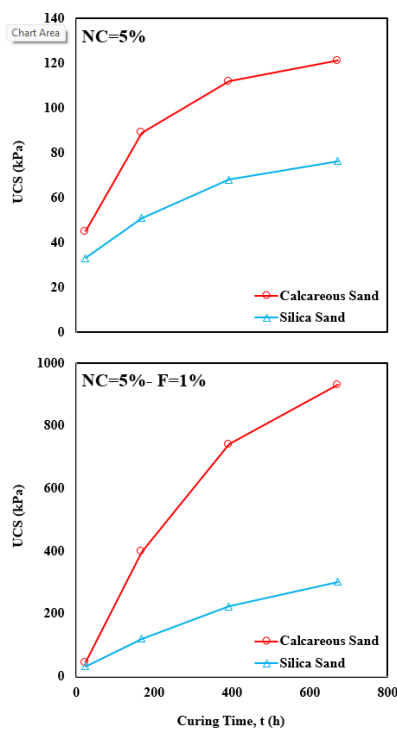
شکل ۵. نتایج آزمایش‌های تک محوری بر روی نمونه‌های تثبیت شده با پلی‌ارتان

Fig. 5. UCS results of PU-stabilized samples



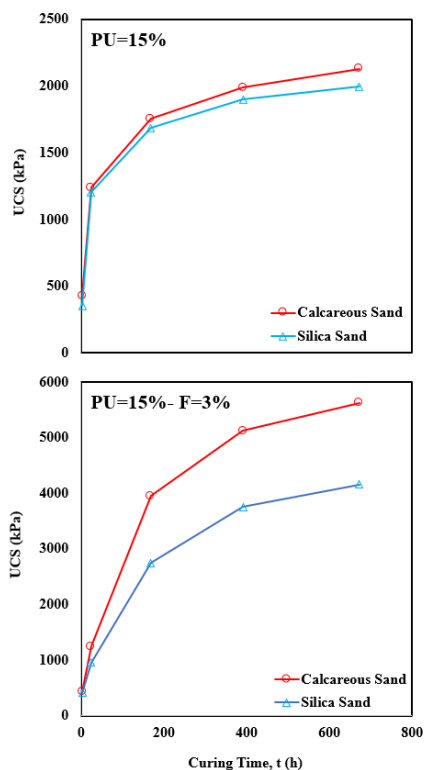
شکل ۶. نتایج آزمایش‌های تک محوری روی نمونه‌های تثبیت شده با پلی‌ارتان و الیاف

Fig. 6. UCS results of PU-stabilized fiber-reinforced samples



شکل ۷. اثر زمان عملآوری بر روی نمونه‌های بهسازی شده حاوی نانو سیلیکا

Fig. 7. Effect of curing time on the UCS of treated samples containing nano-silica



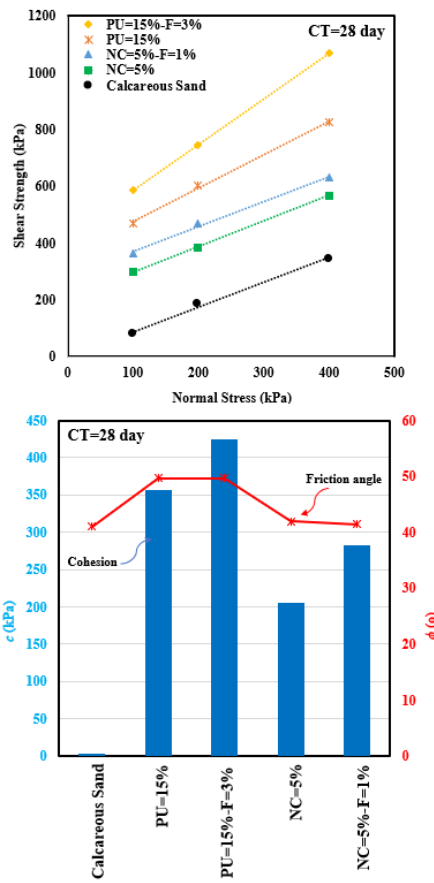
شکل ۸. اثر زمان عملآوری بر روی نمونه‌های بهسازی شده حاوی پلی ارتان

Fig. 8. Effect of curing time on the UCS of treated samples containing PU

UCS را برای هر دو نمونه تقویت شده با پلی یورتان و نانو سیلیکا افزایش می‌دهد که به تأکید بر آثار هم‌زمانی افزودنی‌های ترکیب شده در بهبود ویژگی‌های مکانیکی خاک می‌پردازد.

بررسی تجزیه و تحلیل تصاویر حالت‌های شکست به عنوان یک ابزار حیاتی برای ارزیابی اثربخشی افزودنی‌های مختلف در نمونه‌های خاک بهسازی شده عمل می‌کند [41–45]. در شکل (۹)، تأثیر افزودنی‌های مختلف بر الگوهای شکست نشان داده شده است. هیچ تفاوت قابل تشخیصی بین حالت‌های شکست مشاهده شده در نمونه‌های ماسه سیلیسی و کربناته وجود نداشت. بنابراین، برای ساده‌سازی، تنها یک تصویر نماینده برای هر نوع گروه افزودنی ارائه شده است. دو تصویر بالا الگوهای شکست مشاهده شده در ماسه سیلیسی را نشان می‌دهند، در حالی که دو تصویر پایین حالت‌های شکست در ماسه کربناته را نشان می‌دهند. نمونه‌هایی که تنها با پلی یورتان یا نانو سیلیکا تثبیت شده‌اند، رفتار ترد به همراه ترک‌های برشی را نشان داده‌اند. اضافه کردن الیاف‌ها به نمونه‌ها منجر به تغییر قابل توجهی در رفتار شده است. به طور خاص، افزودن الیاف‌ها باعث تغییر رفتار از ترد به انعطاف‌پذیر می‌شود. بنابراین، حضور الیاف‌ها باعث افزایش سختی و مقاومت در برابر انتشار ترک‌ها در نمونه‌ها می‌شود.

بررسی تجزیه و تحلیل تصاویر حالت‌های شکست به عنوان یک ابزار حیاتی برای ارزیابی اثربخشی افزودنی‌های مختلف در نمونه‌های خاک بهسازی شده عمل می‌کند [41–45]. در شکل (۹)، تأثیر افزودنی‌های مختلف بر الگوهای شکست نشان داده شده است. هیچ تفاوت قابل تشخیصی بین حالت‌های شکست مشاهده شده در نمونه‌های ماسه سیلیسی و کربناته وجود نداشت. بنابراین، برای ساده‌سازی، تنها یک تصویر نماینده برای هر نوع گروه افزودنی ارائه شده است. دو تصویر بالا الگوهای شکست مشاهده شده در ماسه سیلیسی را نشان می‌دهند، در حالی که دو تصویر پایین حالت‌های شکست در ماسه کربناته را نشان می‌دهند. نمونه‌هایی که تنها با پلی یورتان یا نانو سیلیکا تثبیت شده‌اند، رفتار ترد به همراه ترک‌های برشی را نشان داده‌اند. اضافه کردن الیاف‌ها به نمونه‌ها منجر به تغییر قابل توجهی در رفتار شده است. به طور خاص، افزودن الیاف‌ها باعث تغییر رفتار از ترد به انعطاف‌پذیر می‌شود. بنابراین، حضور الیاف‌ها باعث افزایش سختی و مقاومت در برابر انتشار ترک‌ها در نمونه‌ها می‌شود.



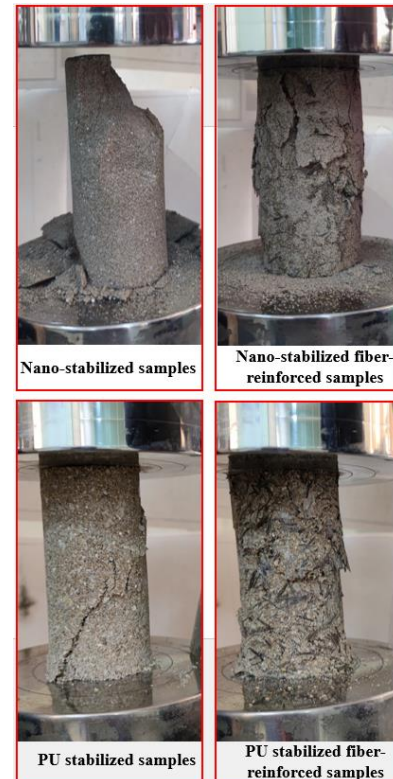
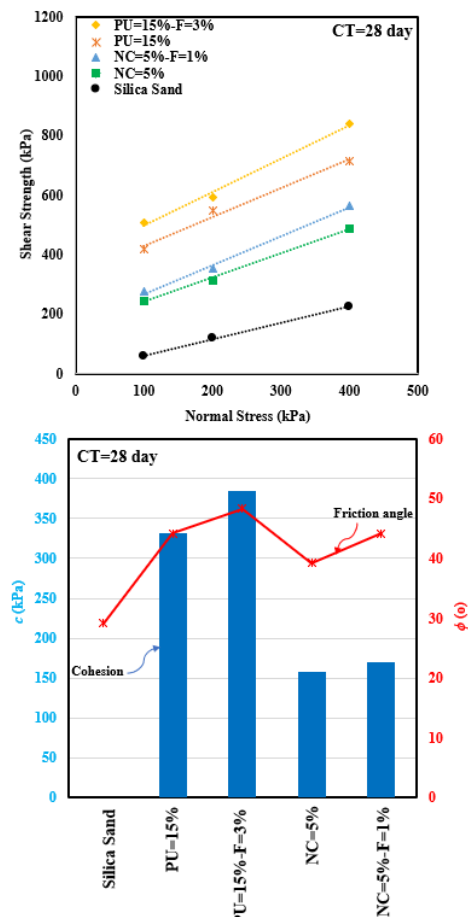
شکل ۱۱. نتایج آزمایش های برش مستقیم بر روی ماسه کربناته

Fig. 11. Direct shear tests on calcareous sand samples

مقایسه بین نمونه های حاوی پلی یورتان و نمونه های حاوی نانو سیلیکا نشان داد که پلی یورتان انعطاف پذیری بالاتری نسبت به نانو سیلیکا دارد. این تفاوت در انعطاف پذیری در الگوهای شکست مشاهده می شود، بطوريکه ترکهای مشاهده شده در نمونه های با پلی یورتان تمایل به نشان دادن چسبندگی بیشتر نسبت به نمونه های حاوی نانو سیلیکا دارند.

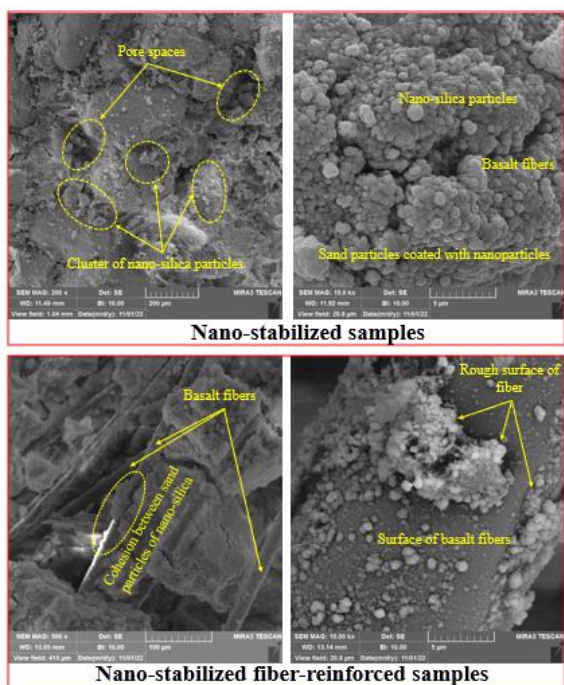
پارامترهای مقاومت برشی، از جمله چسبندگی (c) و زاویه اصطکاک (ϕ)، نقش حیاتی در ارزیابی پایداری و رفتار مواد خاکی ایفا می کنند. در این مطالعه، مجموعه ای از آزمایش های برش مستقیم برای ارزیابی مقاومت برشی نمونه های سیلیسی و کربناته تحت تنش های نرمال ۱۰۰، ۲۰۰ و ۴۰۰ کیلوپاسکال انجام شد. شکل های (۱۰ و ۱۱)، نتایج آزمایش های برش مستقیم برای نمونه های سیلیسی و کربناته را نشان می دهند.

یافته ها نشان می دهند که نمونه های درمان شده مقاومت برشی بسیار بالاتری نسبت به نمونه های ماسه خالص سیلیسی و کربناته دارند. در میان نمونه های بهسازی شده برای هر دو نوع ماسه،

شکل ۹. فرم گسیختگی نمونه های بهسازی شده
Fig. 9. Failure patterns of the treated samples

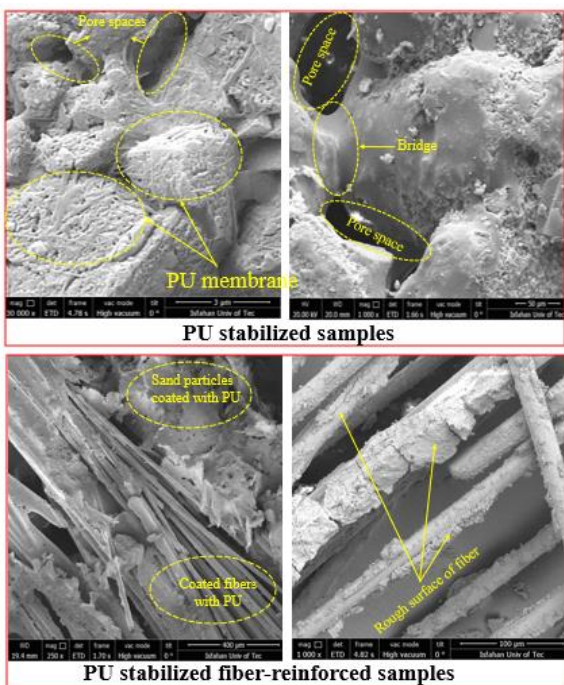
شکل ۱۰. نتایج آزمایش های برش مستقیم روی ماسه سیلیسی

Fig. 10. Direct shear tests on silica sand samples



شکل ۱۲. نتایج SEM روی نمونه‌های حاوی نانو سیلیکا

Fig. 12. SEM results for the samples containing nano-silica



شکل ۱۳. نتایج SEM روی نمونه‌های حاوی پلی ارتان

Fig. 13. SEM results for the samples containing PU

تجزیه و تحلیل SEM نمونه‌های بهسازی شده با نانو سیلیکا خوش‌هایی از ذرات نانو سیلیکا را که به سطح ذرات ماسه چسبیده‌اند و یک لایه محافظت تشکیل می‌دهند را نشان می‌دهد. این پدیده اتصال بین ذرات را بهبود می‌بخشد و فضاهای خالی را پر کرده و ویژگی‌های مکانیکی توده خاک را بهبود می‌بخشد. به طور

نمونه‌های بهسازی شده با نانو سیلیکا کمترین مقاومت برشی را نشان می‌دهند، در حالی که نمونه‌های تثبیت شده با پلی‌یورتان و الیاف، مقادیر بالاتری از مقاومت برشی را نشان می‌دهند. افزایش مقاومت برشی با افزودن الیاف به نمونه‌های تثبیت شده با نانو یا پلی‌یورتان به تأثیر تقویتی الیاف‌ها در داخل ماتریس خاک برمی‌گردد. الیاف‌ها به عنوان عناصر تحملی بار عمل می‌کنند، فشارهای اعمالی را به طریق بهتری توزیع می‌کنند و کلیه چسبندگی و مقاومت در برابر تغییر شکل برشی را افزایش می‌دهند.

مقایسه نتایج بین ماسه سیلیسی و آهکی نشان می‌دهد که نمونه‌های ماسه کربناته به طور کلی مقادیر چسبندگی و زاویه اصطکاک بالاتری نسبت به نمونه‌های سیلیسی را برای یک افزودنی خاص نشان می‌دهد. علاوه بر این، اضافه کردن الیاف به نمونه‌های پلی‌یورتان یا نانو سیلیکا منجر به افزایش چسبندگی و زاویه اصطکاک برای ماسه سیلیسی شد، در حالی که این پارامترها برای ماسه کربناته نسبتاً ثابت مانده است. این تفاوت می‌تواند به دلیل تفاوت در ساختار و شکل دانه‌های ماسه سیلیسی و کربناته باشد. ماسه سیلیسی معمولاً از ذرات گرد گوش تشكیل شده است که در مقابل تنش‌های برشی حساس‌تر است و تمایل بیشتری به حرکت و لغزش دارد. هنگامی که الیاف‌ها به نمونه‌های پلی‌یورتان یا نانو سیلیکا اضافه می‌شود، آن‌ها می‌توانند باعث افزایش درگیری بین دانه‌ها شوند و تا حدودی مانع غلتی و لغزش دانه‌ها می‌شوند و در نهایت باعث افزایش زاویه اصطکاک می‌شوند. با این حال، در ماسه کربناته که شامل ذرات تیزگوش‌تری است، اصطکاک طبیعی بین ذرات از پیش بالا است. بنابراین، اضافه کردن الیاف‌ها ممکن است به طور قابل توجهی سازوکار برهمکنش ذرات را تغییر ندهد. علاوه بر این، تغییرات پارامترهای مقاومت برشی نشان می‌دهد که نمونه‌های حاوی پلی‌یورتان و الیاف بالاترین مقادیر چسبندگی و زاویه اصطکاک را از خود نشان می‌دهند.

در شکل‌های (۱۲ و ۱۳)، نتایج SEM نمونه‌های بهسازی شده با نانو سیلیکا و پلی‌یورتان را ارائه شده است. به طور کلی، تصاویر SEM نمونه‌های تقویت شده با الیاف، اتصال محکم بین الیاف‌ها و ذرات ماسه را نشان می‌دهد. این سازوکار اتصال انتقال بار در داخل ماتریس خاک را تسهیل می‌کند و ویژگی‌های مکانیکی آن را بهبود می‌دهد.

مقاومت فشاری می‌شود، با مقدار الیاف بهینه بیشترین مقدار مقاومت فشاری به ترتیب ۴۵۰۲ و ۵۶۲۳ کیلوپاسکال برای ماسه سیلیسی و کربناته پس از ۲۸ روز بدست آمده است.

۳- بررسی زمان عملآوری نشان می‌دهد که نمونه‌های بهسازی شده با پلی‌یورتان نرخ افزایش مقاومت فشاری بسیار بالاتری را نسبت به نمونه‌های بهسازی شده با نانوسیلیکا دارند، که نشان‌دهنده کارایی برتر پلی‌یورتان در بهبود خواص مکانیکی خاک در زمان کوتاه‌تر است که می‌تواند در پژوهش‌هایی که زمان اهمیت بالایی دارد مورد توجه واقع شود.

۴- بررسی تجزیه و تحلیل بصری نمونه‌ها پس از آزمایش تک محوری نشان دهنده رفتار ترد نمونه‌های بهسازی شده با پلی‌یورتان یا نانوسیلیکا، با تشکیل ترک‌های برشی است. با این حال، اضافه کردن الیاف بازالت، مانع از بروز رفتار ترد در نمونه‌ها شده است. نمونه‌های بهسازی شده با پلی‌یورتان تردد کمتری نسبت به نمونه‌های بهسازی شده با نانوسیلیکا از خود نشان می‌دهند.

۵- نتایج آزمایش‌های برش مستقیم نشان می‌دهد که در نمونه‌های بازسازی شده بهویژه با استفاده از پلی‌یورتان و الیاف، بهبود قابل توجهی در مقاومت برشی وجود دارد. نمونه‌های ماسه کربناته به طور کلی، مقدار بالاتری از چسبندگی و زاویه اصطکاک را نشان می‌دهند، که در نمونه‌های بهسازی شده با پلی‌یورتان و الیاف بیشترین اختلاف را نشان می‌دهند.

قدرتانی نویسنده‌گان

از حمایت مادی و معنوی دانشگاه آزاد اسلامی واحد خوارسگان اصفهان و دانشگاه آزاد اسلامی واحد نجف آباد کمال تشکر را داریم.

عارض منافع

نویسنده‌گان این مقاله اظهار می‌دارند که هیچ گونه تعارض منافع (اعم از مالی، حرفه‌ای، شخصی یا سازمانی) که بر روند پژوهش، نتایج یا تفسیرهای آن تأثیرگذار باشد، وجود ندارد.

سهم نویسنده‌گان

صادق شهیدی انجام آزمایشات و آماده سازی اولیه مقاله و تجزیه و تحلیل داده‌ها را بر عهده داشت. ارائه برنامه آزمایشات

مشابه، تصاویر SEM نمونه‌های بهسازی شده با پلی‌یورتان، لایه‌ای متراکم از پلی‌یورتان را نشان می‌دهند که ذرات ماسه را احاطه کرده و به طور مؤثر آن‌ها را به هم چسبانده است. این توده چسبنده اتصالات بین ذره‌ای را تقویت می‌کند که به افزایش مقاومت می‌شود. نتایج SEM نشان می‌دهند که پلی‌یورتان عملکرد برتری نسبت به نانوسیلیکا دارد به دلیل توانایی آن در ایجاد توسعه پسبنده گسترده‌تر اطراف ذرات ماسه. علاوه بر این، پلی‌یورتان به طور موثری حجم بیشتری از فضاهای خالی را پر کرده و سطح ذرات ماسه را به طور جامع‌تری پوشش می‌دهد نسبت به نانوژل.

۴- نتیجه‌گیری

در این مطالعه، مجموعه‌ای از آزمایش‌های تک محوری و برش مستقیم روی نمونه‌های بهسازی شده با ترکیب‌های مختلف از الیاف بازالتی، پلی‌یورتان و نانوسیلیکا انجام شده است تا تأثیر انواع و مقدار افزودنی‌ها و زمان عملآوری بر رفتار مکانیکی ماسه سیلیسی و کربناته را ارزیابی کند. بر اساس نتایج، می‌توان به نتایج زیر اشاره کرد:

۱- در نمونه‌های بهسازی شده با الیاف، ماسه کربناته دارای مقاومت فشاری بالاتری نسبت به ماسه سیلیسی است. مقدار بهینه الیاف در حدود ۱٪ برای هر دو نوع ماسه بدست آمده است. برای نمونه‌های بهسازی شده با نانوسیلیکا، ماسه سیلیسی مقاومت فشاری بالاتری نسبت به ماسه کربناته را نشان می‌دهد. با اضافه کردن مقدار بهینه نانوسیلیکا در حدود ۱۰٪ به همراه الیاف بازالت، مقاومت فشاری نمونه‌ها افزایش شدیدی داشته است، بهویژه برای ماسه کربناته. در نمونه‌های حاوی نانوسیلیکا و الیاف، مقدار بهینه الیاف برابر با ۱٪ بوده است.

۲- آزمایش‌های تک محوری نشان می‌دهد که پلی‌یورتان به طور قابل ملاحظه‌ای مقاومت فشاری ماسه سیلیسی و کربناته را افزایش می‌دهد. عملکرد بهینه با ۱۰٪ پلی‌یورتان مشاهده شده که بالاترین مقدار UCS را به ترتیب ۲۵۷۳ و ۳۱۷۷ کیلوپاسکال برای ماسه سیلیسی و کربناته پس از ۲۸ روز بدست آورده است. پلی‌یورتان مؤثرتر از نانوسیلیکا و الیاف بازالتی در بهبود مقاومت فشاری نمونه‌ها بوده است. علاوه بر این، اضافه کردن الیاف باعث افزایش قابل ملاحظه‌ای در بهبود

منابع مالی

این پژوهش بدون دریافت هرگونه حمایت مالی از سازمانها یا نهادهای داخلی و خارجی انجام شده است.

References

- [1] Salehi, M., Bayat, M., Saadat, M. and Nasri, M., 2021. Experimental study on mechanical properties of cement-stabilized soil blended with crushed stone waste. *KSCE Journal of Civil Engineering*, 25(6), pp.1974-1984. <https://doi.org/10.1007/s12205-021-0953-5>.
- [2] Hadi Sahlabadi, S., Bayat, M., Mousivand, M. and Saadat, M., 2021. Freeze-thaw durability of cement-stabilized soil reinforced with polypropylene/basalt fibers. *Journal of Materials in Civil Engineering*, 33(9), p.04021232. [https://doi.org/10.1061/\(ASCE\)MT.1943-5533.0003905](https://doi.org/10.1061/(ASCE)MT.1943-5533.0003905).
- [3] Baldovino, J.J., Izzo, R.L., Rose, J.L. and Domingos, M.D., 2021. Strength, durability, and microstructure of geopolymers based on recycled-glass powder waste and dolomitic lime for soil stabilization. *Construction and Building Materials*, 271, p.121874. <https://doi.org/10.1016/j.conbuildmat.2020.121874>.
- [4] Al-Atroush, M.E. and Sebaey, T.A., 2021. Stabilization of expansive soil using hydrophobic polyurethane foam: A review. *Transportation Geotechnics*, 27, p.100494. <https://doi.org/10.1016/j.trgeo.2020.100494>.
- [5] Syed, M., GuhaRay, A., Agarwal, S. and Kar, A., 2020. Stabilization of expansive clays by combined effects of geopolymerization and fiber reinforcement. *Journal of The Institution of Engineers (India): Series A*, 101, pp.163-178. <https://doi.org/10.1007/s40030-019-00418-3>.
- [6] Saadat, M. and Bayat, M., 2022. Prediction of the unconfined compressive strength of stabilised soil by Adaptive Neuro Fuzzy Inference System (ANFIS) and Non-Linear Regression (NLR). *Geomechanics and Geoengineering*, 17(1), pp.80-91. <https://doi.org/10.1080/17486025.2019.1699668>.
- [7] Saygili, A. and Dayan, M., 2019. Freeze-thaw behavior of lime stabilized clay reinforced with silica fume and synthetic fibers. *Cold Regions Science and Technology*, 161, pp.107-114. <https://doi.org/10.1016/j.coldregions.2019.03.010>.
- [8] Chethan, B.A. and Ravi Shankar, A.U., 2021. Strength and durability characteristics of cement and class F fly ash-treated black cotton soil. *Indian Geotechnical Journal*, pp.1-13. <https://doi.org/10.1007/s40098-020-00488-2>.
- [9] Yang, X., Wei, J., Liang, J., Rong, H., Wu, B., Zhang, G. and Zhou, S., 2023. Corrosion characteristics of cement-stabilized crushed stone under vibrational effects. *Journal of Materials in Civil Engineering*, 35(5), p.04023092.
- [10] Yabalui Khamesluei, M.R., Bayat, M., Mousivand, M. and Nozari, M.A., 2024. Effect of zeolite replacement and tyre fibre inclusions on geotechnical properties of cement-or lime-stabilised sand. *Geomechanics and Geoengineering*, 19(5), pp.879-894. <https://doi.org/10.1080/17486025.2024.2326087>.
- [11] Wang, Z. and Mei, G., 2012. Dynamic properties of rubber cement stabilized soil based on resonant column tests. *Marine Georesources & Geotechnology*, 30(4), pp.333-346. <https://doi.org/10.1080/1064119X.2011.631693>.
- [12] Ghasemi, M., Bayat, M. and Ghasemi, M., 2023. Experimental study on mechanical behavior of Sand improved by polyurethane foam. *Experimental Techniques*, 47(6), pp.1201-1211. <https://doi.org/10.1007/s40799-023-00633-5>.
- [13] Cao, X., Lee, L.J., Widya, T. and Macosko, C., 2005. Polyurethane/clay nanocomposites foams: processing, structure and properties. *Polymer*, 46(3), pp.775-783.
- [14] Espadas-Escalante, J.J. and Avilés, F., 2015. Anisotropic compressive properties of multiwall carbon nanotube/polyurethane foams. *Mechanics of Materials*, 91, pp.167-176. <https://doi.org/10.1016/j.mechmat.2015.07.006>.
- [15] Tang, C.S., Wang, D.Y., Cui, Y.J., Shi, B. and Li, J., 2016. Tensile strength of fiber-reinforced soil. *Journal of Materials in Civil Engineering*, 28(7), p.04016031. [https://doi.org/10.1061/\(ASCE\)MT.1943-5533.0001546](https://doi.org/10.1061/(ASCE)MT.1943-5533.0001546).
- [16] Eshaghzadeh, M., Bayat, M., Ajalloeian, R. and Hejazi, S.M., 2021. Mechanical behavior of silty sand reinforced with nanosilica-coated ceramic fibers. *Journal of Adhesion Science and Technology*, 35(23), pp.2664-2683. <https://doi.org/10.1080/01694243.2021.1898857>.
- [17] Tavakol, K., Bayat, M., Nadi, B. and Ajalloeian, R., 2023. Combined influences of cement, rice husk ash and fibre on the mechanical characteristics of a calcareous sand. *KSCE Journal of Civil Engineering*, 27(9), pp.3729-3739. <https://doi.org/10.1007/s12205-023-0695-7>.
- [18] Razeghi, H.R. and Rad, A.S., 2024. Influence of fiber reinforcement on the ultrasonic P-wave velocity and unconfined compressive strength of cemented clay. *International Journal of Geosynthetics and Ground Engineering*, 10(1), p.7. <https://doi.org/10.1007/s40891-023-00516-0>.
- [19] Sujatha, E.R., Mahalakshmi, S. and Kannan, G., 2023.

بررسی نتایج آماده سازی مقاومت میثم بیات صورت گرفت. سید علیرضا زارعی نیز تجزیه و تحلیل داده‌ها و آماده‌سازی مقاومت را بر عهده داشت.

[https://doi.org/10.1061/\(ASCE\)MT.1943-5533.0004733](https://doi.org/10.1061/(ASCE)MT.1943-5533.0004733).

- [20] Yabalui Khamesluei, M.R., Bayat, M., Mousivand, M. and Nozari, M.A., 2024. Effect of zeolite replacement and tyre fibre inclusions on geotechnical properties of cement-or lime-stabilised sand. *Geomechanics and Geoengineering*, 19(5), pp.879-894. <https://doi.org/10.1080/17486025.2024.2326087>.
- [21] Wang, Z. and Mei, G., 2012. Dynamic properties of rubber cement stabilized soil based on resonant column tests. *Marine Georesources & Geotechnology*, 30(4), pp.333-346. <https://doi.org/10.1080/1064119X.2011.631693>.
- [22] Ghasemi, M., Bayat, M. and Ghasemi, M., 2023. Experimental study on mechanical behavior of Sand improved by polyurethane foam. *Experimental Techniques*, 47(6), pp.1201-1211. <https://doi.org/10.1007/s40799-023-00633-5>.
- [23] Cao, X., Lee, L.J., Widya, T. and Macosko, C., 2005. Polyurethane/clay nanocomposites foams: processing, structure and properties. *Polymer*, 46(3), pp.775-783.
- [24] Espadas-Escalante, J.J. and Avilés, F., 2015. Anisotropic compressive properties of multiwall carbon nanotube/polyurethane foams. *Mechanics of Materials*, 91, pp.167-176. <https://doi.org/10.1016/j.mechmat.2015.07.006>.
- [25] Tang, C.S., Wang, D.Y., Cui, Y.J., Shi, B. and Li, J., 2016. Tensile strength of fiber-reinforced soil. *Journal of Materials in Civil Engineering*, 28(7), p.04016031. [https://doi.org/10.1061/\(ASCE\)MT.1943-5533.0001546](https://doi.org/10.1061/(ASCE)MT.1943-5533.0001546).
- [26] Eshaghzadeh, M., Bayat, M., Ajalloeian, R. and Hejazi, S.M., 2021. Mechanical behavior of silty sand reinforced with nanosilica-coated ceramic fibers. *Journal of Adhesion Science and Technology*, 35(23), pp.2664-2683. <https://doi.org/10.1080/01694243.2021.1898857>.
- [27] Tavakol, K., Bayat, M., Nadi, B. and Ajalloeian, R., 2023. Combined influences of cement, rice husk ash and fibre on the mechanical characteristics of a calcareous sand. *KSCE Journal of Civil Engineering*, 27(9), pp.3729-3739. <https://doi.org/10.1007/s12205-023-0695-7>.
- [28] Razeghi, H.R. and Rad, A.S., 2024. Influence of fiber reinforcement on the ultrasonic P-wave velocity and unconfined compressive strength of cemented clay. *International Journal of Geosynthetics and Ground Engineering*, 10(1), p.7. <https://doi.org/10.1007/s40891-023-00516-0>.
- [29] Sujatha, E.R., Mahalakshmi, S. and Kannan, G., 2023.

- Potential of fibre reinforced and cement stabilized fibre reinforced soil blocks as sustainable building units. *Journal of Building Engineering*, 78, p.107733. <https://doi.org/10.1016/j.jobe.2023.107733>.
- [20] Shen, Y.S., Tang, Y., Yin, J., Li, M.P. and Wen, T., 2021. An experimental investigation on strength characteristics of fiber-reinforced clayey soil treated with lime or cement. *Construction and Building Materials*, 294, p.123537.
- [21] Dhar, S. and Hussain, M., 2019. The strength behaviour of lime-stabilised plastic fibre-reinforced clayey soil. *Road Materials and Pavement Design*, 20(8), pp.1757-1778. <https://doi.org/10.1080/14680629.2018.1468803>.
- [22] Syed, M., GuhaRay, A., Chukka, S.K. and Ahmad, S. 2024. Laboratory Investigation and Numerical Modeling on Fiber Reinforced Lime and Alkaline Binder Stabilized Pavement Subgrade Soil. *Case Studies in Construction Materials*, 20, p.e03000.
- [23] Hosseini, A., Haeri, S.M., Mahvelati, S. and Fathi, A., 2019. Feasibility of using electrokinetics and nanomaterials to stabilize and improve collapsible soils. *Journal of Rock Mechanics and Geotechnical Engineering*, 11(5), pp.1055-1065.
- [24] Davoodi, A., Esfahani, M.A., Bayat, M. and Mohammadyan-Yasouj, S.E., 2021. Evaluation of performance parameters of cement mortar in semi-flexible pavement using rubber powder and nano silica additives. *Construction and Building Materials*, 302, p.124166. <https://doi.org/10.1016/j.conbuildmat.2021.124166>.
- [25] Davoodi, A., Esfahani, M.A., Bayat, M., Mohammadyan-Yasouj, S.E. and Rahman, A., 2022. Influence of nano-silica modified rubber mortar and EVA modified porous asphalt on the performance improvement of modified semi-flexible pavement. *Construction and Building Materials*, 337, p.127573. <https://doi.org/10.1016/j.conbuildmat.2022.127573>.
- [26] Boschi, K., di Prisco, C.G., Grassi, D., Modoni, G. and Salvatore, E., 2024. Nanosilica grout permeation in sand: experimental investigation and modeling. *Journal of Geotechnical and Geoenvironmental Engineering*, 150(1), p.04023129. <https://doi.org/10.1061/JGGEFK.GTENG-11436>.
- [27] Karimazar, J., Sharifi Teshnizi, E., Mirzababaei, M., Mahdad, M. and Arjmandzadeh, R., 2022. California bearing ratio of a reactive clay treated with nano-additives and cement. *Journal of Materials in Civil Engineering*, 34(2), p.04021431. [https://doi.org/10.1061/\(ASCE\)MT.1943-5533.0004028](https://doi.org/10.1061/(ASCE)MT.1943-5533.0004028).
- [28] Jafarian Barough, M., Çelik, S. and Oltulu, M., 2022. Investigation into the effect of nanomaterial injection on improving the geotechnical properties of granular soils. *Iranian Journal of Science and Technology, Transactions of Civil Engineering*, 46(4), pp.3163-3179. <https://doi.org/10.1007/s40996-021-00785-7>.
- [29] Tang, L., Wang, Z., Zhang, X., Chen, X., Luo, J. and Wang, Y., 2023. Influence of rheological parameters on cement slurry penetration characteristics of novel oscillating grouting technology. *Construction and Building Materials*, 409, p.133999. <https://doi.org/10.1016/j.conbuildmat.2023.133999>.
- [30] Kumar, J., Verma, R.K. and Mondal, A.K., 2021. Taguchi-grey theory based harmony search algorithm (GR-HSA) for predictive modeling and multi-objective optimization in drilling of polymer composites. *Experimental Techniques*, 45, pp.531-548. <https://doi.org/10.1007/s40799-020-00428-y>.
- [31] Ud Din, I., Hao, P., Panier, S., Khan, K.A., Aamir, M., Franz, G. and Akhtar, K., 2020. Design of a new Arcan fixture for in-plane pure shear and combined normal/shear stress characterization of fiber reinforced polymer composites. *Experimental Techniques*, 44, pp.231-240. <https://doi.org/10.1007/s40799-019-00353-9>.
- [32] Huan, Y.Q.S.Y., Shao, Y.Q., Dai, Y.J., Liu, Y.Q., Wang, T.Y., Zhang, T.H. and Liu, M.H., 2016. Experimental study of the Mechanical Properties of a Novel Supramolecular Polymer Filament using a Microtensile Tester based on electronic balance. *Experimental Techniques*, 40, pp.737-742. <https://doi.org/10.1007/s40799-016-0074-0>.
- [33] Golpazir, I., Ghalandarzadeh, A., Jafari, M.K. and Mahdavi, M., 2016. Dynamic properties of polyurethane foam-sand mixtures using cyclic triaxial tests. *Construction and Building Materials*, 118, pp.104-115. <https://doi.org/10.1016/j.conbuildmat.2016.05.035>.
- [34] Samimi, A. and Zarinabadi, S., 2012. Application solid polyurethane as coating in oil and gas pipelines. In *CHISA 2012 - 20th International Congress of Chemical and Process Engineering and PRES 2012 - 15th Conference PRES 1*.
- [35] Shokrieh, M.M., Saeedi, A. and Chitsazzadeh, M., 2013. Mechanical properties of multi-walled carbon nanotube/polyester nanocomposites. *Journal of Nanostructure in Chemistry*, 3, pp.1-5. <https://doi.org/10.1186/2193-8865-3-20>
- [36] Zhou, Z., Du, X. and Wang, S., 2018. Strength for modified polyurethane with modified sand. *Geotechnical and Geological Engineering*, 36, pp.1897-1906. <https://doi.org/10.1007/s10706-017-0424-4>.
- [37] Zhang, Y., Qi, Y. and Zhang, Z., 2016. Synthesis of PPG-TDI-BDO polyurethane and the influence of hard segment content on its structure and antifouling properties. *Progress in Organic Coatings*, 97, pp.115-121. <https://doi.org/10.1016/j.porgcoat.2016.04.002>.
- [38] Chen, Q., Yu, R., Li, Y., Tao, G. and Nimbalkar, S., 2021. Cyclic stress-strain characteristics of calcareous sand improved by polyurethane foam adhesive.

- Transportation Geotechnics*, 31, p.100640. <https://doi.org/10.1016/j.trgeo.2021.100640>.
- [39] Abdelnaem, M.M. and Hassona, F., 2023. Characterization of polyurethane foam conditioned sand. *Journal of Advanced Engineering Trends*, 42(2), pp.199-218.
- [40] Liu, J., Chen, Z., Song, Z., Bai, Y., Qian, W., Wei, J. and Kanungo, D.P., 2018. Tensile behavior of polyurethane organic polymer and polypropylene fiber-reinforced sand. *Polymers*, 10(5), p.499.
- [41] Hoang, T., Do, H., Alleman, J., Cetin, B. and Dayioglu, A.Y., 2023. Comparative evaluation of freeze and thaw effect on strength of BEICP-stabilized silty sands and cement-and fly ash-stabilized soils. *Acta Geotechnica*, 18(2), pp.1073-1092. <https://doi.org/10.1007/s11440-022-01612-7>.
- [42] Ghanbari, M. and Bayat, M., 2022. Effectiveness of reusing steel slag powder and polypropylene fiber on the enhanced mechanical characteristics of cement-stabilized sand. *Civil Engineering Infrastructures Journal*, 10(1), pp.1-10. <https://doi.org/10.22034/ceij.2022.10.001>.
- [43] ShahriarKian, M., Kabiri, S. and Bayat, M., 2021. Utilization of zeolite to improve the behavior of cement-stabilized soil. *International Journal of Geosynthetics and Ground Engineering*, 7(2), p.35. <https://doi.org/10.1007/s40891-021-00284-9>.
- [44] Qiu, C.C., Xu, G.Z., Gu, G.Q., Song, W.Z. and Cao, D.H., 2024. Uniaxial compression test of cement-solidified dredged slurry columns encased with geogrid. *Geosynthetics International*, 31(6), pp.1-17. <https://doi.org/10.1680/jgein.23.00132>.
- [45] Roustaei, M., Pumple, J., Hendry, M.T., Harvey, J. and Froese, D., 2024. Effect of freeze-thaw cycles on the macrostructure and failure mechanisms of fiber-reinforced clay using industrial computed tomography. *Canadian Geotechnical Journal*, 61(9), pp.2007-2021. <https://doi.org/10.1139/cgj-2023-0136>.

چگونه به این مقاله ارجاع دهیم؟

Shahidi, S., Bayat, M. and Zarei, S.A., 2025. Experimental Study of Compressive Strength and Shear Strength Parameters of Treated Sand with Nanomaterial, Basalt Fiber and Polymer. *Modares Civil Engineering journal*, 25(3), pp.19-32.

DOI: [10.22034/25.3.1](https://doi.org/10.22034/25.3.1)

